

Гаврилкина М. В., Глаголев В. В.

ВАРИАНТ ПОСТАНОВКИ ЗАДАЧИ РАЗРУШЕНИЯ ТИПА НОРМАЛЬНОГО ОТРЫВА

(Тульский государственный университет)

Предлагается подход к решению задач механики разрушения на масштабном уровне механики сплошной среды. Для элементарного элемента объема в рамках данного подхода рассмотрено наступление момента образования новых материальных поверхностей. Предложена постановка и метод решения частной задачи механики разрушения.

Ключевые слова: *характерный размер, граничное интегральное уравнение, линейная упругость.*

1. Подходы к описанию процесса разрушения. В процессе внешних, монотонных до некоторого момента воздействий на твердое тело, его материал проходит стадии обратимого (упругого), необратимого равновесного (упругопластического) деформирования и, наконец, стадию разрушения. Наименее изученной, но и наиболее важной с прикладной точки зрения является стадия разрушения. Существенное отличие этой стадии от предыдущих заключается в том, что если упругое и неупругое деформирование может охватывать весь материал тела, в частности, деформированное состояние может быть однородным, то процесс разрушения, как правило, локализуется в тонких слоях. Сложность описания таких процессов связана с неопределенностью самого понятия “разрушение”.

Исторически сложились два направления описания разрушения. Первое рассматривает наступление предельного состояния в окрестности точки континуума для тел без начальных вырезов [1,7,10]. В этом случае определяется момент наступления критического состояния в окрестности материальной точки и не рассматривается дальнейшая эволюция разрушения, в частности, процесс формирования новых материальных поверхностей. Второе направление – определение условий начала движения имеющегося в теле разреза, который полагается либо математическим (теория трещин) [11–15,17], либо физическим, имеющим некоторый характерный размер [6,9,16]. Для математического разреза процесс образования поверхностей не связывается с разрушением материала в смысле использования критериев прочности. В качестве условия начала продвижения поверхности разрыва принимается критерий Гриффитса в энергетическом или силовом вариантах. В рабо-

тах [2-5] предлагается рассматривать разрушение как термомеханический процесс, и даны оценки соответствующего масштабного уровня через известные механические характеристики среды.

2. Постановка частной задачи механики разделения. В качестве примера решения задачи разделения на масштабном уровне выполнения гипотез механики сплошной среды рассмотрим условия начала продвижения физического разреза (слоя взаимодействия) [2] в линейно упругой плоскости согласно схеме, показанной на рис.1, соответствующей разрушению типа нормального отрыва.

В отличие от постановки задачи [2], наряду с напряжением $\sigma_{11}(x_2)$ учитываем напряжение $\sigma_{22}(x_2)$, обусловленное наличием касательных напряжений $\sigma_{21}(x_2)$ вдоль границы со слоем. Подчеркнем, что в слое постулируется однородность напряженно-деформированного (НДС) состояния в направлении ортогональном поверхности разделения (плоскости Ox_2x_3).

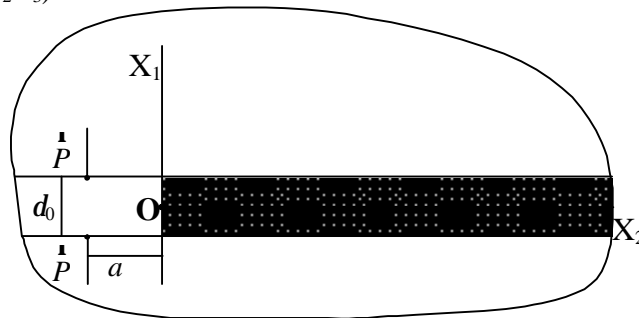


Рис.1. Схема разделения плоскости

Полагаем, что связь между напряжениями и деформациями вне слоя взаимодействия описывается соотношениями линейной теории упругости для случая плоского деформирования. В силу симметрии задачи рассмотрим только верхнюю полуплоскость ($x_1 \geq \delta_0/2$) (рис.2), а действие слоя эквивалентно нагрузке на полуплоскость $\mathbf{q}(x) = -(\tilde{\sigma}_{11}\mathbf{e}_1 + \tilde{\sigma}_{21}\mathbf{e}_2)$ (здесь и далее $x \equiv x_2/d_0$ – безразмерная координата; $\tilde{\sigma}_{ij} = \sigma_{ij} \cdot \beta$, $i, j = 1, 2$ – безразмерные напряжения; $\beta = \frac{2(1-\nu^2)}{\pi E}$ – параметр материала, E – модуль упругости; ν – коэффициент Пуассона).

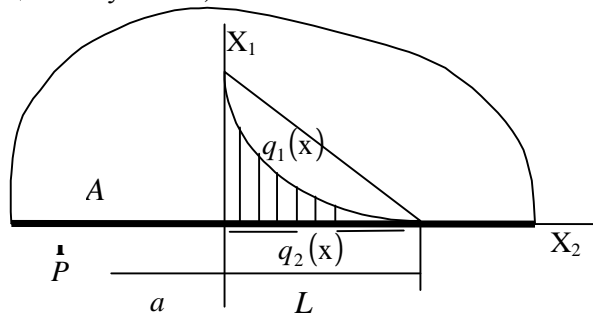


Рис.2. Схема нагружения плоскости

Связь между напряжением $\tilde{\sigma}_{22}$ в слое взаимодействия и напряжением $\tilde{\sigma}_{21}$ по границе слоя получим из условия равновесия элемента слоя в виде

$$\frac{\partial \tilde{\sigma}_{22}}{\partial x} = -2\tilde{\sigma}_{21}. \quad (1)$$

На основании решения задачи Фламана распределение перемещений точек границы полуплоскости под действием нагрузок, показанных на рис.2, имеет вид

$$\tilde{u}_1(x) = -\tilde{P} \ln\left(\frac{x+a}{L+a}\right) + \int_0^L \tilde{\sigma}_{11}(\xi) \cdot \ln\left(\frac{|x-\xi|}{L-\xi}\right) d\xi, \quad (2)$$

$$\tilde{u}_2(x) = \int_0^L \tilde{\sigma}_{21}(\xi) \cdot \ln\left(\frac{|x-\xi|}{L-\xi}\right) d\xi, \quad (3)$$

где $\tilde{u}_i = u_i/\delta_0$, $i, j = 1, 2$ – безразмерные перемещения; $\tilde{P} = P\beta/\delta_0$ – безразмерная сила на единицу толщины; L – удаленная точка с нулевым перемещением; L – расстояние от начала координат до L .

Запишем перемещения в левых частях (2) и (3) через соответствующие главные деформации слоя взаимодействия с учетом гипотезы однородности напряженно-деформированного состояния по толщине слоя

$$\tilde{u}_1(x) = \varepsilon_{11}(x)/2, \quad (4)$$

$$\tilde{u}_2(x) = \int_L^x \frac{\varepsilon_{22}(x)}{2} dx. \quad (5)$$

Выражение главных деформаций найдем через соответствующие напряжения из закона Гука

$$\varepsilon_{11} = \tilde{A}\tilde{\sigma}_{11} - \tilde{B}\tilde{\sigma}_{22}, \quad (6)$$

$$\varepsilon_{22} = \tilde{A}\tilde{\sigma}_{22} - \tilde{B}\tilde{\sigma}_{11}, \quad (7)$$

где $\tilde{A} = \frac{\pi}{2}$, $\tilde{B} = \frac{\nu\pi}{2(1-\nu)}$ – безразмерные постоянные.

Таким образом, с учетом (4), (6), представим граничное интегральное уравнение (2) в следующей форме

$$\frac{1}{2}(\tilde{A}\tilde{\sigma}_{11} - \tilde{B}\tilde{\sigma}_{22}) = -\tilde{P} \cdot \ln\left(\frac{x+a}{L+a}\right) + \int_0^L \tilde{\sigma}_{11}(\xi) \cdot \ln\left(\frac{|x-\xi|}{L-\xi}\right) d\xi. \quad (8)$$

Продифференцируем по x выражение (3)

$$\varepsilon_{22} = \frac{d\tilde{u}_2}{dx} = \int_0^L \tilde{\sigma}_{21}(\xi) \frac{1}{x-\xi} d\xi. \quad (9)$$

Подставим в формулу (9) выражение (7) в результате получим

$$\tilde{A}\tilde{\sigma}_{22} - \tilde{B}\tilde{\sigma}_{11} = \int_0^L \tilde{\sigma}_{21}(\xi) \frac{1}{x-\xi} d\xi. \quad (10)$$

Отсутствие напряжений $\tilde{\sigma}_{22}$ в точке О и условие затухания напряжений на бесконечности приводит к следующему граничному условию

$$\tilde{\sigma}_{22}|_{x=0} = 0. \quad (11)$$

Таким образом, имеем систему интегральных уравнений (8), (10), дополняемую связью (1). Перепишем полученную систему интегро-дифференциальных уравнений в виде:

$$\begin{cases} \frac{1}{2}(\tilde{A}\tilde{\sigma}_{11} - \tilde{B}\tilde{\sigma}_{22}) = -\tilde{P} \cdot \ln\left(\frac{x+a}{L+a}\right) + \int_0^L \tilde{\sigma}_{11}(\xi) \cdot \ln\left(\frac{|x-\xi|}{L-\xi}\right) d\xi, \\ \tilde{A}\tilde{\sigma}_{22} - \tilde{B}\tilde{\sigma}_{11} = \int_0^L \tilde{\sigma}_{21}(\xi) \frac{1}{x-\xi} d\xi, \\ \frac{\partial \tilde{\sigma}_{22}}{\partial x} = -2\tilde{\sigma}_{21}. \end{cases} \quad (12)$$

Результатом решения системы (12) является нахождение поля напряжений $\tilde{\sigma}_{11}$ и $\tilde{\sigma}_{22}$, а также касательных напряжений по границе со слоем – $\tilde{\sigma}_{21}$ при условии затухания напряжений на бесконечности: $\tilde{\sigma}_{11}|_{x=L} = \tilde{\sigma}_{21}|_{x=L} = \tilde{\sigma}_{22}|_{x=L} = 0$.

3. Результаты решения. Для решения задачи в рамках дискретной модели разобьем границу полуплоскости OL на N граничных элементов [8]. Считаем, что каждый граничный элемент характеризуется постоянным (средним по элементу) значением напряжения $\tilde{\sigma}_{ii}^{(k)}$, где $k=1 \dots N, i=1,2$.

Построим дискретные выражения интегральных операторов в уравнениях системы (12)

$$\int_0^L \tilde{\sigma}_{11}(\xi) \cdot \ln\left(\frac{|x-\xi|}{L-\xi}\right) d\xi = \sum_{k=1}^N \tilde{\sigma}_{11}^{(k)} \cdot \int_{\xi_k}^{\xi_{k+1}} \ln\left(\frac{|x_j-\xi|}{L-\xi}\right) d\xi, \quad (13)$$

$$\int_0^L \tilde{\sigma}_{21}(\xi) \cdot \frac{1}{x-\xi} d\xi = \sum_{k=1}^N \tilde{\sigma}_{21}^{(k)} \cdot \int_{\xi_k}^{\xi_{k+1}} \frac{1}{x_j-\xi} d\xi. \quad (14)$$

Используя условие постоянства напряжения $\tilde{\sigma}_{21}^{(j)}$ и производной $\frac{d\tilde{\sigma}_{22}^j}{dx}$, соотношение (1) примет следующий вид

$$\tilde{s}_{21}^{(j)} = -\frac{\tilde{s}_{22}^{(j)} - \tilde{s}_{22}^{(j-1)}}{2}. \quad (15)$$

Таким образом, система (12) сводится к следующей системе линейных алгебраических уравнений относительно $\tilde{\sigma}_{11}^{(k)}$, $\tilde{\sigma}_{21}^{(k)}$ и $\tilde{\sigma}_{22}^{(k)}$

$$\left\{ \begin{aligned} \frac{A_0}{2} \sigma_{11}^{(j)} - \frac{B_0}{2} \sigma_{22}^{(j)} &= -A_0^{(j)} \cdot \ln \left(\frac{x_j + a}{L + a} \right) + \sum_{k=1}^N \sigma_{11}^{(j)} \cdot \int_{\xi_k}^{\xi_{k+1}} \ln \left(\frac{x_j - \xi}{L - x} \right) d\xi, \\ \frac{A_0}{2} \sigma_{22}^{(j)} - \frac{B_0}{2} \sigma_{11}^{(j)} &= \sum_{k=1}^N \sigma_{21}^{(j)} \cdot \int_{\xi_k}^{\xi_{k+1}} \frac{1}{x_j - \xi} d\xi, \\ \sigma_{22}^{(j)} &= -\frac{\sigma_{22}^{(j)} - \sigma_{22}^{(j-1)}}{2}. \end{aligned} \right. \quad (16)$$

На рис.3 построены эпюры распределения напряжений в слое взаимодействия на первых 7 элементах при следующих расчетных характеристиках: $N = 1000$; $a = 10$ для двух значений коэффициента Пуассона: $\nu = 0,15$, $\nu = 0,35$. Непрерывные линии соответствуют $\nu = 0,35$, а штриховые – $\nu = 0,15$. Кривые 1 и 3 определяют напряжение σ_{11} , а 2 и 4 – σ_{22} .

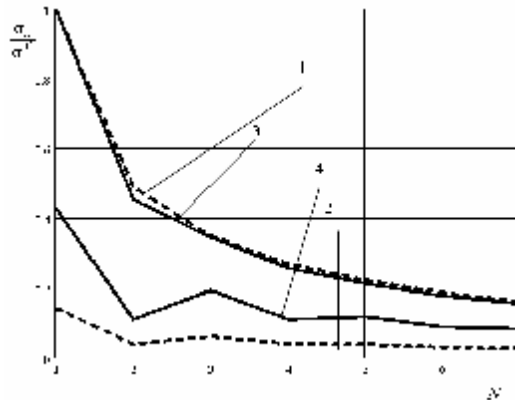


Рис.3. Распределение напряжений на границе слоя

Из рисунка видно, что коэффициент Пуассона практически не влияет на распределение напряжений σ_{11} , но оказывает существенное влияние на напряжение σ_{22} . Полученная зависимость показывает, что напряжение σ_{22} для физического разреза соответствует напряжению σ_{11} и может играть существенную роль при формировании пластической зоны, предшествующей началу разделения. Кроме того, отношение $\frac{\sigma_{22}}{\sigma_{11}}$ для дискретной рассматриваемой модели существенно зависит от коэффициента Пуассона.

Работа выполнена при финансовой поддержке РФФИ (проекты № 06-01-00047 и № 07-01-96402).

г. Тула

Поступила: 18 января 2008 г.

ЛИТЕРАТУРА

1. Бриджмен, П. Исследование больших пластических деформаций и разрыва /П. Бриджмен – М. : ИЛ, 1955. – 444 с.
2. Глаголев, В. В. Модель процесса разделения деформируемого тела / В. В. Глаголев, К. А. Кузнецов, А. А. Маркин // Известия РАН. МТТ. – 2003. – № 6. – С. 61-68.
3. Глаголев, В. В. Модель установившегося разделения материального слоя / В. В. Глаголев, А. А. Маркин // Известия РАН. МТТ. – 2004. – № 5. – С. 121-129.
4. Глаголев, В. В. Об одном способе определения связей между критическими значениями характеристик процесса установившегося разделения материала / В. В. Глаголев, А. А. Маркин // Проблемы прочно-сти. – 2006. – №2. – С. 47-58.
5. Глаголев, В. В. Оценка толщины слоя взаимодействия как универсального параметра материала / В. В. Глаголев, А. А. Маркин // Известия РАН. МТТ. – 2006. – №5. – С. 177-186.
6. Ентов, В. М. К модели хрупкого разрушения Прандтля / В. М. Ентов, Р. Л. Салганик // Изв. АН СССР. МТТ. – 1968. – № 6. – С. 87-99.
7. Качанов, Л. М. Основы механики разрушения /Л. М. Качанов – М. : Наука, 1974. – 312 с.
8. Крауч, С. Методы граничных элементов в механике твердого тела / С. Крауч, А. Старфилд : Пер. с англ. – М. : Мир, 1987. – 328 с.
9. Новожилов, В. В. О необходимом и достаточном критерии хрупкой прочности /В. В. Новожилов // ПММ. – 1969. – № 2. – С. 212-222.
10. Фридман, Я. Б. Механические свойства металлов. – Ч. 1. Деформация и разрушение / Я. Б. Фридман – М. : Машиностроение, 1974. – 472 с.
11. Черепанов, Г. П. Механика хрупкого разрушения / Г. П. Черепанов– М. : Наука, 1974.– 640 с.
12. Griffith, A. A. The theory of rupture / A. A. Griffith // In: Proc. 1st Int. Congr. Appl. Mech. – Delft. – 1924. – P. 55-63.
13. Irwin, G. R. Analysis of stresses and strain near the end of a crack traversing a plate / G. R. Irwin // J. Appl. Mech. 1958. – V. 24. –¹ 3. – P. 361-364. (Discussion // J. Appl. Mech. / 1958. – V. 25. –¹ 2. – P. 299-303).
14. Matvienko, Yu. G. Some problems in linear and non-linear fracture mechanics / Yu. G. Matvienko, E. M. Morozov // Engineering Fracture Mechanics. – 1987. – V.62. – P. 127-138.
15. Orowan, E. O. Proc. Symposium on internal stresses in metals and alloys / E. O. Orowan – London : Institut of Metals, 1948 – p.451.
16. Prandtl, L. Ein Gedankenmodell für den Zerreibvorgang spröder Körper / L. Prandtl ZAMM Bd. 13. – 1933. – S. 129-133.
17. Rice J. R. The elastic-plastic mechanics of crack extension / J. R. Rice // Int. J. Fracture Mech. – 1968. – V. 4. –¹ 1. – P. 41-47